

27p 2055

72 春物理学会予稿

X線3波の動力学理論と結晶構造解析における位相問題

富山大理 神津順平

X-Ray 3-Wave Dynamical Theory and the Phase Problem in Crystal Structure Analysis

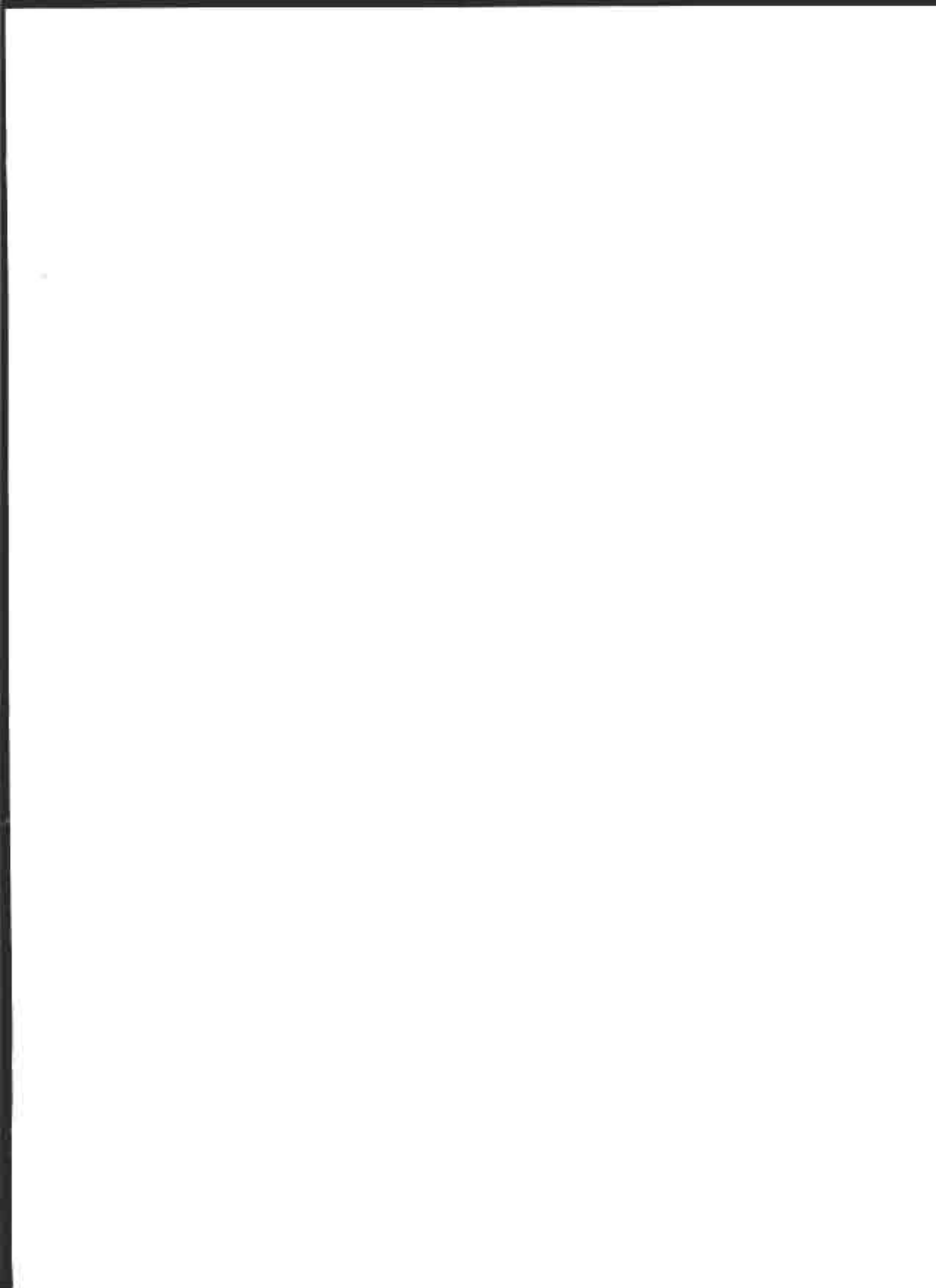
Dept. of Physics, Toyama Univ. K. Okitsu

X線結晶構造解析において回折実験より求められるのは、結晶構造因子の絶対値のみであり、位相を測定することが出来ないという困難がある。このいわゆる位相問題は、統計的手法（直接法）により今日ほぼ克服されているが、位相を直接測定する決定的方法は依然として無い。1974年、Colellaは、多重散乱(multiple diffraction)の条件下で回折実験を行うことにより、原理的には位相問題を解決できることを示した。

本講演の主題は、第1に、多重散乱を扱うための3波動力学理論を与えることであり、第2に、その理論の数値解を「3波セクショントポグラフィ」について求め、Colellaの指摘を補完することである。

3波動力学理論は、高木理論(S. Takagi 1962, 1969)に3波近似を適用することにより導かれたが、最終的な式に高い対称性を持たせるために、2つの工夫が施されている。第1に、高木の動力学理論基本方程式から非対称な項を除くために、透過及び回折波に位相変換を行った。第2に、ベクトル方程式をスカラ方程式に展開する際、偏光ベクトルの方向を、直交するのではなく斜交するように取った。導出された方程式は6連立偏微分方程式であるが、対称性がよいため、添字を6通りに組み合わせることが可能で、1行の式で表現される。

導出された方程式を差分方程式の形にして数値解を得るわけであるが、プログラミングの際、式の対称性の高さは非常に有利な条件となる。数値シミュレーションにおける仮定は、ピンホールを通過した単色偏光X線が、2つのブラッグ条件を同時に満足するように平板結晶に入射し、結晶裏面の2方向へ反射されるという実験配置である。波動場は3角錐の領域に動起され、3角形の回折パターンの強度分布が構造因子の位相情報を含むことが確認された。導出された3波の方程式は結晶中の歪にも対応し得るが、構造因子の位相情報の確認が本研究の主題であるため、仮定した結晶は完全結晶である。



Feb. 12, '92 (wed)

高木流による歪んだ結晶に対する3波動力学理論

● 沖津流 歪んだ結晶に対する動力学理論基本方程式

$$\left(\mathcal{D}_k \cdot \text{grad} \right) D_k = -i\pi K \sum_{k' \neq k} \chi_{k-k'} \exp\left\{ -2\pi i \left((k'-k) \cdot R \right) \right\} [D_{k'}]_{k'}$$

上式は No. 14 「硝子の科学」 p. 87 ⑤式 導出 0:58 a.m., Feb. 3rd, '92

k_0 は逆格子ベクトル (逆格子原点のゼロベクトルも含む)
 結晶中での透過波 (屈折波) の波数ベクトルは $k_0 + \tau$ とし、
 k_0 による反射波の波数ベクトルは $k_0 + k$ とする。

\mathcal{D}_k は、 $k_0 + k$ 方向の単位ベクトルで、
 $\mathcal{D}_k = \mathcal{D}_k^{(x)} \hat{i} + \mathcal{D}_k^{(y)} \hat{j} + \mathcal{D}_k^{(z)} \hat{k}$

\mathcal{D}_k を上のように成分表示すればよいので、
 演算子 $\mathcal{D}_k \cdot \text{grad}$ は次式で与えられる。

$$\mathcal{D}_k \cdot \text{grad} = \mathcal{D}_k^{(x)} \frac{\partial}{\partial x} + \mathcal{D}_k^{(y)} \frac{\partial}{\partial y} + \mathcal{D}_k^{(z)} \frac{\partial}{\partial z}$$

D_k は $k_0 + k$ 方向に進む反射波 (屈折波) の電気分位ベクトルで、
 振動項を含めた表示 $D_k(R, t)$ (R は結晶中の位置ベクトル, t は時刻)
 は次のように与えられるとしている。

$$D_k(R, t) = D_k(k) \cdot \exp\left\{ 2\pi i \left[\nu t - (k_0 + k) \cdot R \right] \right\}$$

高木の基本方程式においては、 k_0 はローレンツ変の近傍から
 逆格子原素に向かうベクトルで

(次頁に続く)

$|k_0| = K(1 + \frac{1}{2}\gamma_0)$; γ_0 は結晶の極率の0次(非振動)の項
 K は真空中でのX線の波数

を満ちしているが、沖津流基本方程式においては、 k_0 は上式を満ち、かつ正確にブラッグ条件を満足しているわけでは無い。

すなわち、 k_0 は、ローレンツ点から、逆格子原点へ向かうベクトルであり、

ブラッグ条件が極数の場合、すなわち、逆格子 k_1 、 k_2 、 k_3 の3つに逆格子 k_0 もブラッグ条件を満ちる場合(3波ケース)は、ローレンツ点は、

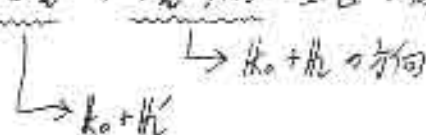
逆格子原点 O から k_1, k_2 に対する逆格子 H_1, H_2 の3点が等距離 $K(1 + \frac{1}{2}\gamma_0)$ にあるとする。又、逆格子ベクトル k_1, k_2, k_3 の3つがブラッグ条件を同時に満ちる(4波ケース)も、ローレンツ点は、

逆格子原点 O から逆格子 H_1, H_2, H_3 の4点が等距離 $K(1 + \frac{1}{2}\gamma_0)$ にあるとする。いずれの場合も、 k_0 はローレンツ点から逆格子原点 O へ向かうベクトルであるとする。沖津流基本方程式は、高木の基本方程式に比べて、 k_0 に強い拘束を与えることにより、方程式の形式に高い対称性を得ている。

K は X 線の真空中での波数

γ_{h-k} は 極率 γ の $(h-k)$ 次のフーリエ係数

k は 格子高次ベクトル

$[D_k]_h$ は、 D_k の k 方向に垂直な成分ベクトルを表わす。


$\sum_{k \neq h}$ は、 h 以外の k についての和をとることを意味する。

以上

Feb. 12, '92 (Wed)

歪んだ結晶に対する波動力学理論 一般形

$$\frac{\partial}{\partial S_{hi}} D_{hi}^{(j)} = -i\pi K \chi_{h_i-h_j} \exp\{2\pi i(h_i-h_j) \cdot u\} C_{ij}^{(j)} D_{ij}^{(i)}$$

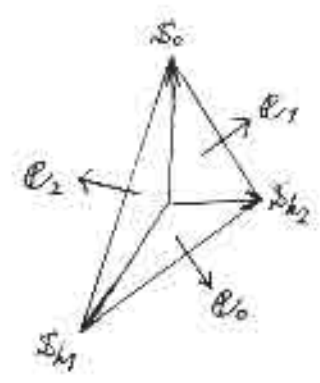
$$-i\pi K \chi_{h_i-h_k} \exp\{2\pi i(h_i-h_k) \cdot u\} (C_{ik}^{(j)} D_{ik}^{(i)} + D_{ik}^{(j)})$$

$i, j, k \in \{0, 1, 2\}, i \neq j, j \neq k, k \neq i$

No. 14 「格子の力学」 p. 95 の (16) 式, 寄出 Feb. 11, '92 (Tue), 5:30 a.m.

上式において、 i, j, k は互いに異なり、 $\{0, 1, 2\}$ のいずれかの値をとり得るので、この順列の数は6個である。すなわち上式は6連立偏微分方程式である。

3波ケースにおいては、波数ベクトル k_0 の透過波に対して、波数ベクトルが k_0+k_1 と k_0+k_2 の2つの反射波が結晶中に強い波に存在する。



右図において、 S_0, S_{k_1}, S_{k_2} はそれぞれ、 k_0, k_0+k_1, k_0+k_2 方向の単位ベクトル、

又 e_0, e_1, e_2 は単位ベクトルで、 e_0 は、 $S_{k_1} \times S_{k_2}$ に垂直
 e_1 は、 $S_{k_2} \times S_0$ に垂直
 e_2 は、 $S_0 \times S_{k_1}$ に垂直 } である。

次に つづく

Feb. 14, '92

高木-トウパンの式における偏光因子: C に相当する係数として、
沖津流了波動力学理論においては、以下の式に示される $C_n^{(i)}$
という係数が導入されている。

$$\left. \begin{aligned} e_0 &= C_0^{(1)} e_1 + C_0^{(2)} e_2 + Z_0 \delta_0, \\ e_1 &= C_1^{(1)} e_2 + C_1^{(0)} e_0 + Z_1 \delta_{h1}, \\ e_2 &= C_2^{(0)} e_0 + C_2^{(1)} e_1 + Z_2 \delta_{h2}. \end{aligned} \right\} \textcircled{1}$$

上式①は、単位ベクトル e_0, e_1, e_2 及び $\delta_0, \delta_{h1}, \delta_{h2}$ の関係
を示しており、一般的には、 e_i 及び δ_{h_i} の一次
結合として表現する際の係数として、 $C_n^{(i)}$, $C_n^{(h)}$ 及び Z_n を定義す
る。したがって①式を一般的に表現すると、以下のようになる。

$$e_i = C_n^{(i)} e_i + C_n^{(h)} e_h + Z_n \delta_{h_i}, \quad \text{---} \textcircled{2}$$

$$i, j, h \in \{0, 1, 2\}, \quad i \neq j, \quad j \neq h, \quad h \neq i.$$

透過波及び反射波のベクトル振幅は、 e_0, e_1, e_2 を用いて、
次式のようにスカラーに展開されたものとする。

$$\left. \begin{aligned} D_0 &= D_0^{(1)} e_1 + D_0^{(2)} e_2 \\ D_{h1} &= D_{h1}^{(2)} e_2 + D_{h1}^{(0)} e_0 \\ D_{h2} &= D_{h2}^{(0)} e_0 + D_{h2}^{(1)} e_1 \end{aligned} \right\} \text{---} \textcircled{3}$$

(次頁に続く)

上式④は、一般的に3次元の表現される。

$$D_{ijk} = D_{hi}^{(j)} e_j + D_{hi}^{(k)} e_k, \quad \text{-----} \quad (4)$$

$i, j, k \in \{0, 1, 2\}, i \neq j, j \neq k, k \neq i.$

その他、notationは、以下の通りである。

$\frac{\partial}{\partial x_{hi}}$: $k_0 + k_{hi}$ の方向 掃き、 x_{hi} 方向の微分

K : 入射 X 線の真空中での波数

$\chi_{hi kj}$: 逆格子ベクトル $k_i - k_j$ に対した分極率のフリエ係数

\mathbf{v} : 格子変位ベクトル

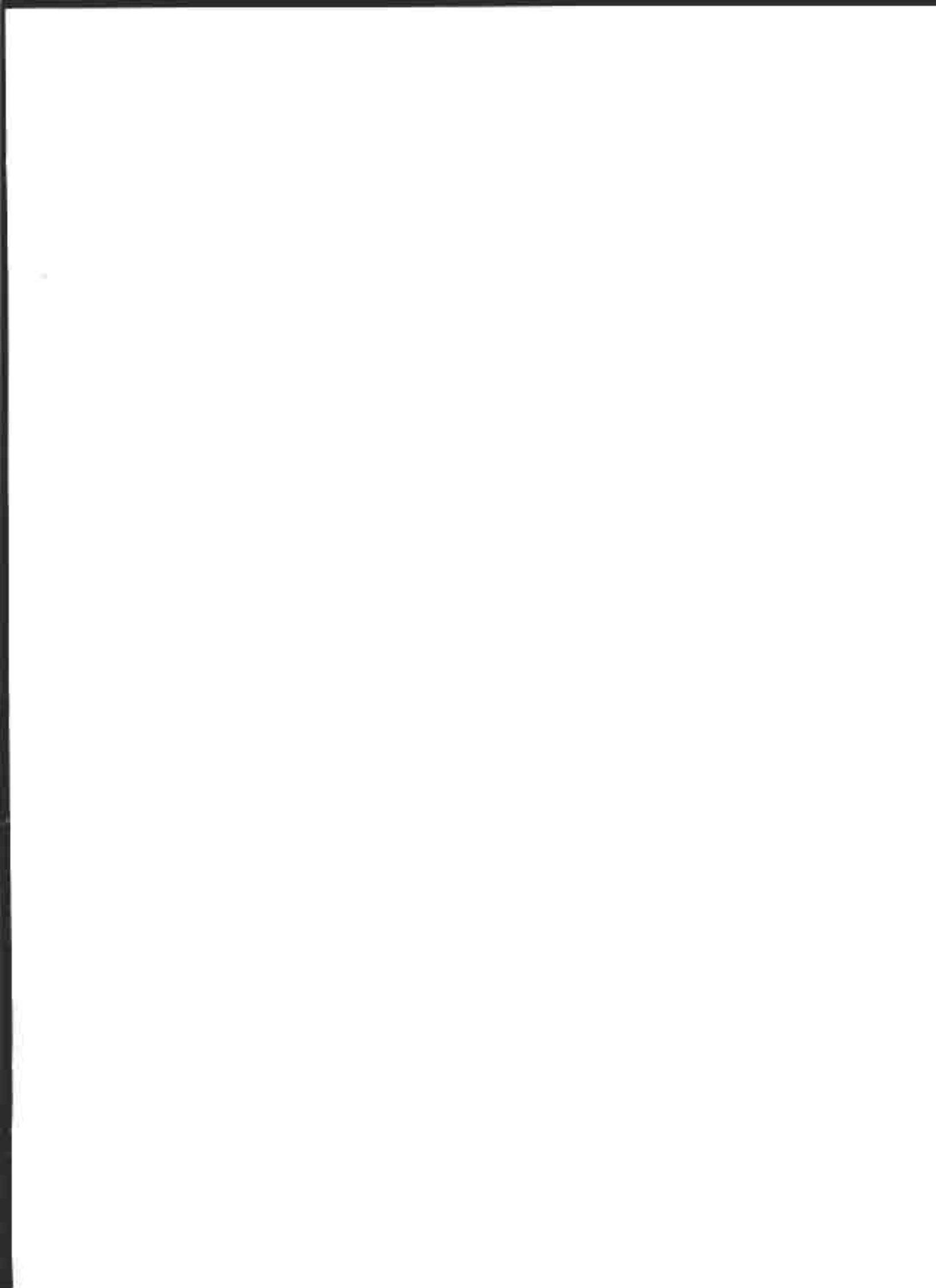
以上

3波動力学理論(結晶中の至対応)の導出過程は、

No. 14 「光子のミラ」 p. 90 ~ p. 95 (Feb. 11, '92)

至の項を含まない3波動力学理論の導出過程は、

No. 13 「光子のミラ」 p. 47 ~ p. 53

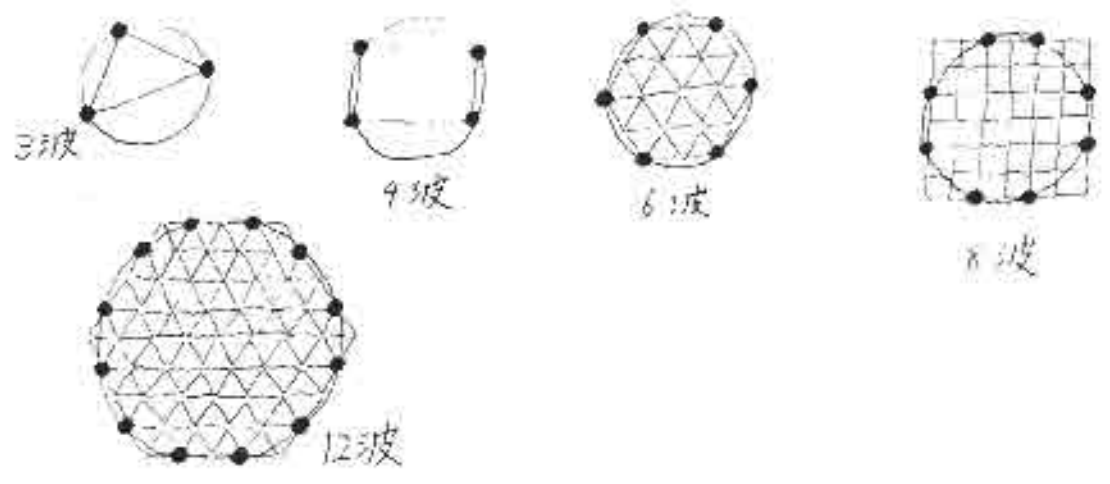


March 30, '93 n 波力学理論 - 球形(立方形)の導出

(海田 2020 209)

(本日は30, 休日は28, 29, 31の20... 下相)

n 波 ($n = 3, 4, 6, 8, 12$) の格子点 = 球



この本の7.7章 "All Lave case" には、この図の形を、 n 波の結晶の射線から出射面にて層状の積を重ねることによって数値的に計算することが出来る。

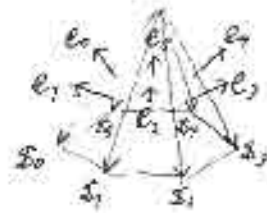
つづく

数ベ-ノ前ノ 動力学理論 基幹程式 (高橋 & 沖村 型式) 再掲

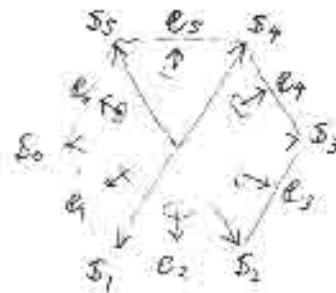
$$(\text{grad}) \mathbb{D}_i = -i\pi K \sum_{j \neq i} \chi_{i,j} \exp\{-2\pi i(\mathbb{M}_j - \mathbb{M}_i) \cdot \mathbb{U}\} [\mathbb{D}_j]_i$$

上式は No.14 「量子の力学」 p.87 (25) 式 寄出 0.58 a.m. Feb 3. 72

右図のように, s_i 及び e_i は定義打
右図は 6 波の場合に打が他の場合
($i=3, 4, 6, 8, 12$) に同様.
 s_i 及び e_i は単位ベクトル.



e_i を $s_j = e_j + e_{j+1}$ の
一次結合を表現打爲し,
 $\sum^{(i,j)} C_0^{(i,j)} s_j + C_1^{(i,j)} e_{j+1}$ を導入打.
係数 $C_0^{(i,j)}$ と $C_1^{(i,j)}$ を 偏光因子として 得てくた.



$$e_i = \sum^{(i,j)} C_0^{(i,j)} s_j + C_1^{(i,j)} e_{j+1} \quad \text{偏光因子の定義} \quad (2)$$

ニハ時, $j+1$ が 6 (波の番号は, 1) + 3, 4, 5, $j+1=0$ となる.

上式を例に $i=2, j=4$ について 適用打し,

$$e_2 = \sum^{(2,4)} C_0^{(2,4)} s_4 + C_1^{(2,4)} e_5 + C_1^{(2,4)} e_0 \quad (3)$$

つづく

波動場 D_i ($i=0, \dots, n-1$) は, e_i と e_{i+1} の斜交ベクトルに分解
 される。ここで D_i は 波数ベクトル $k_i = k_0 + k_i$ の波の
 複素振幅ベクトルである。

$$\boxed{D_i = D_i^{(0)} e_i + D_i^{(1)} e_{i+1}} \quad \text{波動場のスカラー形式} \quad (4)$$

前頁、基本方程式中の $[D_i]_i$ は D_i の $k_0 + k_i$ に垂直な成分ベクトル
 である。したがって $[D_i]_i$ (D_i の $k_0 + k_i$ に垂直な成分ベクトル) は、
 前頁で定義した偏光因子 $e_i \times e_{i+1}$ を用いて次のように表される

$$[D_i]_i = [D_i^{(0)} e_i + D_i^{(1)} e_{i+1}]_i \quad (5)$$

e_i と e_{i+1} を前頁の偏光因子の定義式に依り、 e_i, e_i, e_{i+1} の次総和すると、
 $= [D_i^{(0)} (Z^{(i,i)} e_i + C_0^{(i,i)} e_i + C_1^{(i,i)} e_{i+1})$
 $+ D_i^{(1)} (Z^{(i+1,i)} e_i + C_0^{(i+1,i)} e_i + C_1^{(i+1,i)} e_{i+1})]_i$
 e_i は $k_0 + k_i$ に平行、 $e_i \times e_{i+1}$ は $k_0 + k_i$ に垂直なベクトルであるから、 (6)

$$\boxed{[D_i]_i = \left\{ C_0^{(i,i)} D_i^{(0)} + C_0^{(i+1,i)} D_i^{(1)} \right\} e_i + \left\{ C_1^{(i,i)} D_i^{(0)} + C_1^{(i+1,i)} D_i^{(1)} \right\} e_{i+1}} \quad [D_i]_i \text{ の表式} \quad (7)$$

722

前ページの基本方程式の左辺を $e_i = e_{i+1}$ の成分に分解すると、

$$(\xi_i \cdot \text{grad}) D_i = (\xi_i \cdot \text{grad}) \{ D_i^{(0)} e_i + D_i^{(1)} e_{i+1} \} \quad \text{--- (8)}$$

$$= \frac{\partial}{\partial s_i} D_i^{(0)} e_i + \frac{\partial}{\partial s_i} D_i^{(1)} e_{i+1} \quad \text{--- (9)}$$

前頁の $[D_i]_i$ の成分表示の式 (7式) を 前ページの基本方程式 (8式) の右辺に代入すると、

$$\begin{aligned} \text{(8式右辺)} = & -i\pi K \sum_{j \neq i} \chi_{k_j + l_j} \exp\{-2\pi i (h_j - h_i) \cdot u\} \left\{ \left[C_0^{(j,i)} D_j^{(0)} \right. \right. \\ & \left. \left. + C_0^{(j,i)} D_j^{(1)} \right] e_i + \left[C_1^{(j,i)} D_j^{(0)} + C_1^{(j,i)} D_j^{(1)} \right] e_{i+1} \right\} \end{aligned} \quad \text{--- (10)}$$

(7式) と (10式) を e_i と e_{i+1} の成分ごとに比較して次式を得る

$$\begin{aligned} \frac{\partial}{\partial s_i} D_i^{(0)} &= -i\pi K \sum_{j \neq i} \chi_{k_j + l_j} \exp\{-2\pi i (h_j - h_i) \cdot u\} \left\{ C_0^{(j,i)} D_j^{(0)} + C_0^{(j,i)} D_j^{(1)} \right\} \quad \text{--- (11)} \\ \frac{\partial}{\partial s_i} D_i^{(1)} &= -i\pi K \sum_{j \neq i} \chi_{k_j + l_j} \exp\{-2\pi i (h_j - h_i) \cdot u\} \left\{ C_1^{(j,i)} D_j^{(0)} + C_1^{(j,i)} D_j^{(1)} \right\} \quad \text{--- (12)} \end{aligned}$$

スカラー型式 九波 ($n=3, 4, 6, 8, 12$) 初等理論 2行型

フブ(

前頁の①と②式を1つにまとめると、

$$\frac{\partial}{\partial s_i} D_i^{(n)} = -i\pi K \sum_{j \neq i} \chi_{h_i h_j} \exp\{-2\pi i(h_j - h_i) \cdot U\} \left\{ C_{h_j}^{(j,i)} D_j^{(n)} + C_{h_j}^{(j+1,i)} D_j^{(n)} \right\}$$

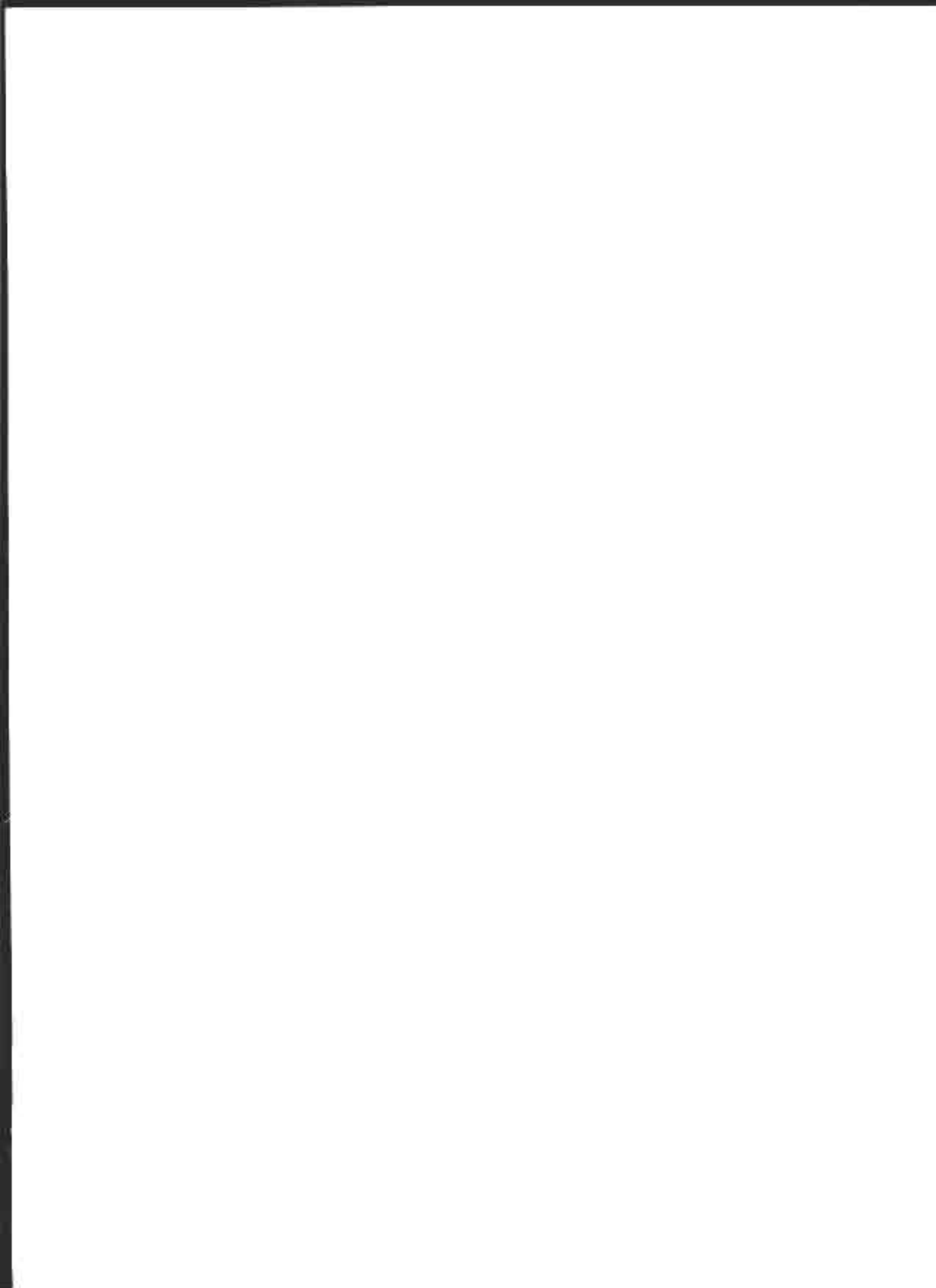
$$i, j \in \{0, 1, \dots, n-1\}, h \in \{0, 1\}, n \in \{3, 4, 6, 8, 12\}$$

スカラー型式 n 波動力学理論 1 行型

以上

193.3.29 (mon) 7:00 起床, 本日も天気調子は良い, 上式の導出 18:00 富大にて.
本日降雪あり.

193.3.30 (tue) 12:00 起床, 本日も天気調子は良い, 本日も下痢, 本日寒い.
本頁執筆 18:30 富大にて



3rd 学位プログラム ミニ-セッションプログラム リスト

output on Feb 13, 92 ①頁~⑥頁


```

C
DO 172 NT = 0 , 2
DO 173 MT = 0 , 2
CPOLAR( NT , MT ) = - 0.407407
175 CONTINUE
172 CONTINUE
C
FIPIK = 0.5 * PI * II * K
C
DO 601 LL = 1 , 6
DO 602 MM = 1 , 6
BN( LL , MM ) = ( 0.0 , 0.0 )
602 CONTINUE
601 CONTINUE
C
----- MATRIX : BN( 1:6 , 1:6 ) PREPARING
C
DO 701 LL = 0 , 2
DO 702 MM = 0 , 2
IF ( LL .EQ. MM ) GO TO 712
C
DO 703 NN = 0 , 2
IF ( LL .EQ. NN ) GO TO 713
IF ( MM .EQ. NN ) GO TO 713
C
KL1 = POINTR( LL , MM )
KL2 = POINTR( LL , MM )
BN( KL1 , KL2 ) = 1.0 / DDX( LL )
KL2 = POINTR( MM , LL )
BN( KL1 , KL2 ) = FIPIK * CHIH( LL , MM )
* CPOLAR( LL , MM )
C
KL2 = POINTR( NN , LL )
BN( KL1 , KL2 ) = FIPIK * CHIH( LL , NN )
* CPOLAR( LL , MM )
C
KL2 = POINTR( NN , MM )
BN( KL1 , KL2 ) = FIPIK * CHIH( LL , NN )
C
713 CONTINUE
703 CONTINUE
712 CONTINUE
702 CONTINUE
701 CONTINUE

```

```

C
-----
C
----- MAIN ROUTINE
C
DSCAL( 1 , 3 ) = ( 1.0 , 0.0 )
DSCAL( 2 , 3 ) = ( 1.0 , 0.0 )
C
DO 77 MS = 1 , MSTEP
C
K1 = 0
K2 = 1
C
DO 96 JG = 1 , 6
DENS2( JG , 1 ) = ( 0.0 , 0.0 )
DENS2( JG , 2 ) = ( 0.0 , 0.0 )

```

```

96      CONTINUE
C
      MSA = MS * 1
      DO 88 N = 1 , MSA
C
          WRITE ( 6 , 553 ) MS , MSTEP , N , MSA
          FORMAT ( 1H , 'M = ', I4.1 , '/ ', I4.1 , ' N = ', I4.1 , '/ ', I4.1 )
553
C
          N2 = N + 1
          J1 = K1
          J2 = K2
          K1 = -1 + N2 * ( N2 + 1 ) / 2
          K2 = -1 + N2 * ( N2 + 1 ) / 2 + N2
C
          IX = 1
          DO 99 J = J1 , J2
              DO 19 JJK = 1 , 6
                  DENS1( JJK , IX ) = DENS2( JJK , IX )
19          CONTINUE
              IX = IX + 1
99          CONTINUE
C
          IY = 1
          DO 93 KLJ = K1 , K2
              DO 18 JJK = 1 , 6
                  DENS2( JJK , IY ) = DSCAL( JJK , KLJ )
18          CONTINUE
              IY = IY + 1
93          CONTINUE
C
          DO 123 IPP = 1 , N
              JQ1 = IPP
              JQ2 = IPP + 1
C
              DO 124 LL = 0 , 2
                  DO 126 MM = 0 , 2
                      IF ( LL .EQ. MM ) GO TO 127
                      KOQ = POINTR( LL , MM )
                      DENBA1( 0 , LL , MM ) = DENS2( KOQ , JQ2 )
                      DENBA1( 1 , LL , MM ) = DENS1( KOQ , JQ2 )
                      DENBA1( 2 , LL , MM ) = DENS1( KOQ , JQ1 )
127          CONTINUE
126          CONTINUE
124          CONTINUE
C
              DO 45 JH = 1 , 6
                  DO 22 JHH = 1 , 6
                      AN( JH , JHH ) = BN( JH , JHH )
22          CONTINUE
45          CONTINUE
C
              DO 751 LL = 0 , 2
C
                  DO 732 MM = 0 , 2
                      IF ( LL .EQ. MM ) GO TO 742
C
                          DO 733 NN = 0 , 2
                              IF ( LL .EQ. NN ) GO TO 743
                              IF ( MM .EQ. NN ) GO TO 743
C

```


716 FORMAT (1H : E11.4)

245 CONTINUE

55 CONTINUE

----- FILE CLOSE

CLOSE (1)

STOP

END

----- CODED ON NOV.20 . '90 (TUE)

----- SUBROUTINE : 1-ORDER EQUATIONS SOLVING

SUBROUTINE SOLEQ6

INTEGER N

PARAMETER (N = 6)

COMPLEX A , X , T

COMMON /SE01/ A(1 : N , 1 : N + 1) , X(1 : N)

DO 50 K = 1 , N-1
 MAX = K
 DO 10 J = K+1 , N
 IF (CABS(A(J , K)) .GT. CABS(A(MAX , K))) MAX = J
10 CONTINUE

 IF (MAX .NE. K) THEN
 DO 20 J = K , N+1
 T = A(K , J)
 A(K , J) = A(MAX , J)
 A(MAX , J) = T
20 CONTINUE
 END IF

 DO 40 I = K+1 , N
 T = A(I , K) / A(K , K)
 DO 30 J = K+1 , N+1
 A(I , J) = A(I , J) - T * A(K , J)
30 CONTINUE
40 CONTINUE
50 CONTINUE

DO 70 K = N , 1 , -1
 A(K , N+1) = A(K , N+1) / A(K , K)
 DO 60 I = K-1 , 1 , -1
 A(I , N+1) = A(I , N+1) - A(K , N+1) * A(I , K)
60 CONTINUE
70 CONTINUE

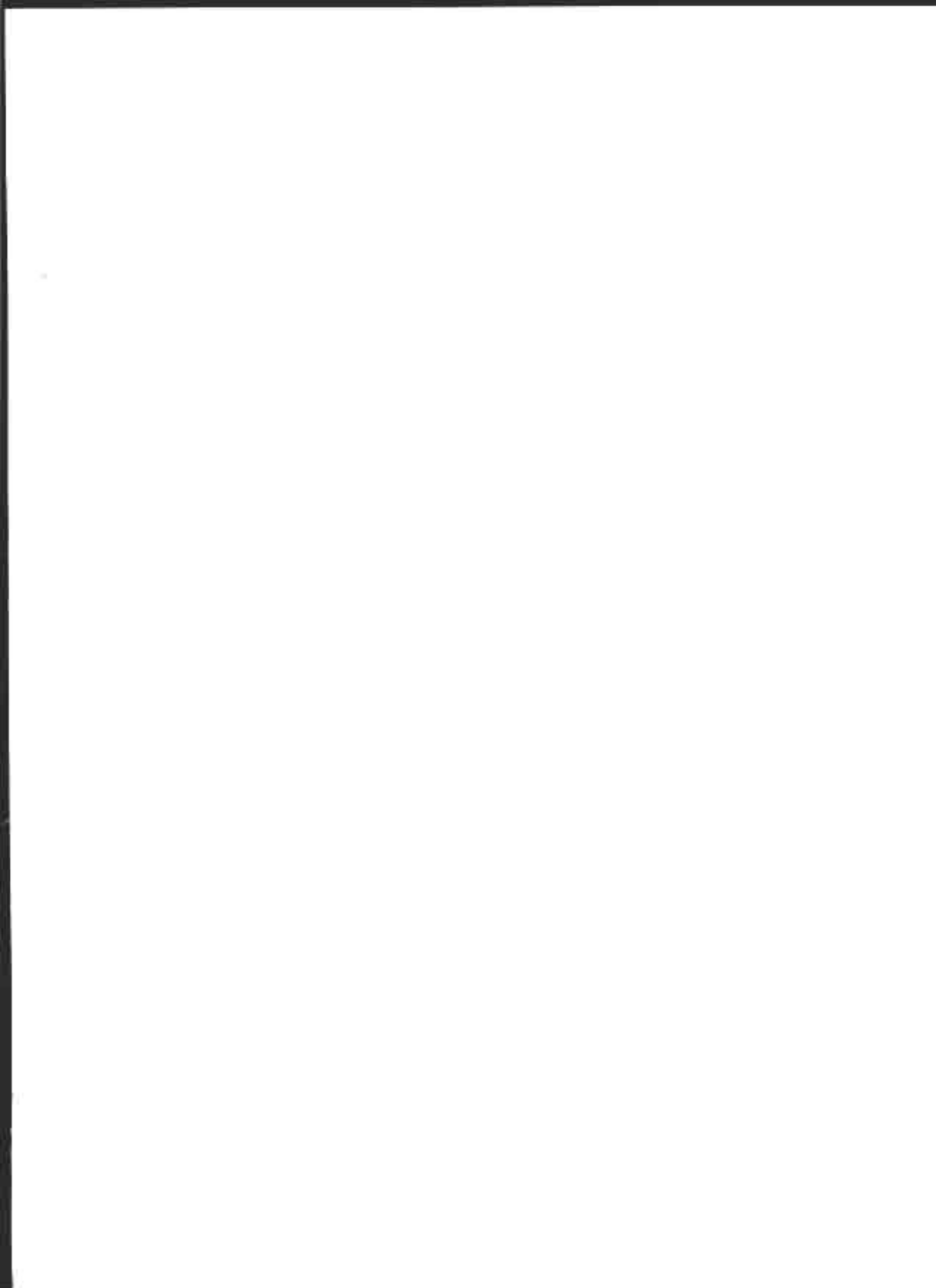
DO 80 I = 1 , N
 X(I) = A(I , N+1)

80 CONTINUE

C

RETURN
END

(6)



$$D_i^{(k)}(\hbar) \exp\{2\pi i [vt - (k_0 + k_i) \cdot \hbar]\} \quad (0)$$

$$= D_i'^{(k)}(\hbar) \exp\{2\pi i [vt - (k_0 + \Delta k_0 + k_i) \cdot \hbar]\} \quad (1)$$

$$= D_i'^{(k)}(\hbar) \exp\{-2\pi i (\Delta k_0 \cdot \hbar)\} \quad \rightarrow k_0 + k_i$$

$$\times \exp\{2\pi i [vt - (k_0 + k_i) \cdot \hbar]\} \quad (2)$$

(0) 式と (2) 式を比較して

$$D_i^{(k)}(\hbar) = D_i'^{(k)}(\hbar) \exp\{-2\pi i (\Delta k_0 \cdot \hbar)\} \quad (3)$$

$$\frac{\partial}{\partial S_i} D_i^{(k)}(\hbar) = \frac{\partial}{\partial S_i} \left[D_i'^{(k)}(\hbar) \exp\{-2\pi i (\Delta k_0 \cdot \hbar)\} \right] \quad (4)$$

$$= \left\{ \frac{\partial}{\partial S_i} D_i'^{(k)}(\hbar) \right\} \exp\{-2\pi i (\Delta k_0 \cdot \hbar)\}$$

$$+ D_i'^{(k)}(\hbar) \left[\frac{\partial}{\partial S_i} \exp\{-2\pi i (\Delta k_0 \cdot \hbar)\} \right] \quad (5)$$

上の式(5)の第二項について考察する。
すなわち、次の項をみる

$$D_i'^{(k)}(\hbar) \left\{ \frac{\partial}{\partial S_i} \exp[-2\pi i (\Delta k_0 \cdot \hbar)] \right\} \quad (6)$$

#2/8

Π を次のように表すことにする。

$$\Pi = \sum \delta_i + E_i^{(0)} e_i + E_i^{(1)} e_{i+1} \quad (7)$$

δ_i, e_i, e_{i+1} は, Mar. 30 '93 の #3/5 の図のように, γ をた斜交するベクトルで, これらの一次結合は, $\delta, E_i^{(0)}, E_i^{(1)}$ の座標で Π を表わすとする。

そこで, 式(6)の中の $\frac{\partial}{\partial \delta_i} \exp\{-2\pi i [\Delta k_0 \cdot \Pi]\}$ は, 次のようになる,

$$\frac{\partial}{\partial \delta_i} \exp\{-2\pi i (\Delta k_0 \cdot \Pi)\} \quad (8)$$

$$= \frac{\partial}{\partial \delta_i} \exp\{-2\pi i [\Delta k_0 \cdot (\sum \delta_i + E_i^{(0)} e_i + E_i^{(1)} e_{i+1})]\}$$

ここで斜交に交わる, δ_i, e_i, e_{i+1} ベクトル系 (9)

に対して, 逆ベクトル, $\delta_i^*, e_i^*, e_{i+1}^*$ を決めるように定義する

$$\delta_i^* = \frac{e_i \times e_{i+1}}{\delta_i \cdot (e_i \times e_{i+1})} \quad (10)$$

$$e_i^* = \frac{e_{i+1} \times \delta_i}{\delta_i \cdot (e_i \times e_{i+1})} \quad (11)$$

$$e_{i+1}^* = \frac{\delta_i \times e_i}{\delta_i \cdot (e_i \times e_{i+1})} \quad (12)$$

$$\Delta k_0 = K_{S_i} S_i^* + K_{e_i} e_i^* + K_{e_{i+1}} e_{i+1}^* \quad (13)$$

$S_i, e_i, e_{i+1} \in S_i^*, e_i^*, e_{i+1}^*$ 1-次元の

基底である。

$$S_i S_i^* = 1, e_i e_i^* = 1, e_{i+1} e_{i+1}^* = 1$$

$$S_i e_i^* = S_i e_{i+1}^* = 0$$

$$e_i S_i^* = e_i e_{i-1}^* = 0$$

$$e_{i+1} e_i^* = e_{i+1} S_i^* = 0$$

式(13)を式(8)-(9)に代入する。

$$\frac{\partial}{\partial S_i} \exp \{ -2\pi i (\Delta k_0 - \pi) \} \quad (14)$$

$$= \frac{\partial}{\partial S_i} \exp \left\{ -2\pi i \left[K_{S_i} S_i + K_{e_i} E_i^{(0)} + K_{e_{i+1}} E_i^{(1)} \right] \right\} \quad (15)$$

$$= \frac{\partial}{\partial S_i} \left\{ \exp \left[-2\pi i (K_{S_i} S_i) \right] \exp \left[-2\pi i (K_{e_i} E_i^{(0)}) \right] \exp \left[-2\pi i (K_{e_{i+1}} E_i^{(1)}) \right] \right\} \quad (16)$$

K_{S_i} は、 ρ -1次元の平面(球)と、 ρ 次元の
 平面(球)との距離である。その値は $-\frac{1}{2} \chi_0 K_{S_i}$ である。
 したがって、

$$(16) = \left\{ \frac{\partial}{\partial S_i} \cdot \exp \left[-2\pi i \left(-\frac{1}{2} \chi_0 K_{S_i} \right) \right] \right\} \left\{ \exp \left[-2\pi i (K_{e_i} E_i^{(0)}) \right] \right\} \times \left\{ \exp \left[-2\pi i (K_{e_{i+1}} E_i^{(1)}) \right] \right\} \quad (17)$$

#4/8

$$(17) = \pi i \lambda_0 K \left\{ \exp\left[-2\pi i\left(-\frac{1}{2}\lambda_0 K S_i\right)\right] \right\} \left\{ \exp\left[-2\pi i\left(K e_i E_i^{(0)}\right)\right] \right\} \\ \times \left\{ \exp\left[-2\pi i\left(K e_{i+1} E_i^{(1)}\right)\right] \right\} \quad (18)$$

$$= \pi i \lambda_0 K \left\{ \exp\left[-2\pi i\left(\Delta k_0 \cdot \Pi\right)\right] \right\} \quad (19)$$

式(14) = 式(19) を、式(1)に代入すると、

$$\frac{\partial}{\partial S_i} D_i^{(k)}(\Pi) = \left\{ \frac{\partial}{\partial S_i} D_i^{(k)}(\Pi) \right\} \exp\left\{-2\pi i\left[\Delta k_0 \cdot \Pi\right]\right\} \quad (20)$$

$$+ i\pi \lambda_0 K D_i^{(k)}(\Pi) \exp\left\{-2\pi i\left(\Delta k_0 \cdot \Pi\right)\right\} \quad (20)$$

$$= \left\{ \exp\left[-2\pi i\left(\Delta k_0 \cdot \Pi\right)\right] \right\} \left\{ \frac{\partial}{\partial S_i} D_i^{(k)}(\Pi) + i\pi \lambda_0 K D_i^{(k)}(\Pi) \right\}$$

(2)

Nov. 30, 1993 の #5/5 の式を以下に再掲する。

$$\frac{\partial}{\partial S_i} D_i^{(k)} = -i\pi K \sum_{j \neq i} \lambda_{h_i - h_j} \exp\left\{-2\pi i\left(h_j - h_i\right) \cdot u\right\} \\ \times \left\{ C_k^{(j, i)} D_j^{(1)} + C_k^{(j+1, i)} D_j^{(1)} \right\}$$

$$i, j \in \{0, 1, \dots, \pi-1\}, k \in \{0, 1\}, \pi \in \{3, 4, 6, 8, 12\}$$

(22)

式(10) = 式(2) + 再掲す。

$$D_i^{(k)}(\tau) = D_i^{(k)}(\tau) \exp\{-2\pi i(\Delta k \cdot \tau)\} \quad (23)$$

式(21) と 式(23) を、式(22)に代入す。

$$\left\{ \exp[-2\pi i(\Delta k \cdot \tau)] \right\} \left\{ \frac{\partial}{\partial \tau} D_i^{(k)}(\tau) + i\pi \chi_0 K D_i^{(k)}(\tau) \right\} \quad (24)$$

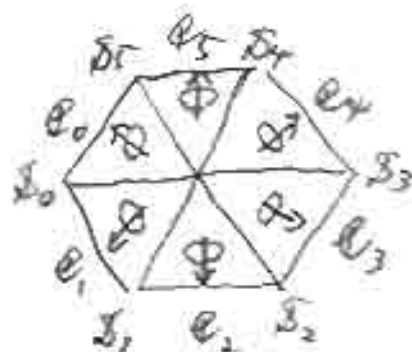
$$= -i\pi K \sum_{j \neq i} \chi_{h_i - h_j} \exp\{-2\pi i(h_j - h_i) \cdot \tau\} \\ \times \left\{ C_k^{(j, i)} D_j^{(0)} + C_k^{(j+1, i)} D_j^{(1)} \right\} \\ \times \exp\{-2\pi i(\Delta k \cdot \tau)\} \quad (25)$$

(24) = (25) を、 $\exp[-2\pi i(\Delta k \cdot \tau)]$ で割る。

$$\frac{\partial}{\partial \tau} D_i^{(k)} = -i\pi \chi_0 K D_i^{(k)} - i\pi K \sum_{j \neq i} \chi_{h_i - h_j} \exp\{-2\pi i(h_j - h_i) \cdot \tau\} \\ \times \left\{ C_k^{(j, i)} D_j^{(0)} + C_k^{(j+1, i)} D_j^{(1)} \right\} \quad (26)$$

#6/8

2-3で Mar 30 '93 の #3/5 の ②式に2行
偏角因子を定義を再掲する。



$$e_i = \sum \delta_j^{(i,j)} + C_0^{(i,j)} e_j + C_1^{(i,j)} e_{j+1} \quad (27)$$

例えば $i=2, j=4$ に適用すると。

$$e_2 = \sum \delta_4^{(2,4)} + C_0^{(2,4)} e_4 + C_1^{(2,4)} e_5 \quad (28)$$

$\Rightarrow i, j=2, j=2$ のとき e_j は e_2 である。

$$e_2 = \sum \delta_2^{(2,2)} + C_0^{(2,2)} e_2 + C_1^{(2,2)} e_2 \quad (29)$$

明らかに。

$$\sum \delta_2^{(2,2)} = 0, C_0^{(2,2)} = 1, C_1^{(2,2)} = 0 \quad (30)$$

である。

また、 $i=2, j=1$ のとき

$$e_2 = \sum \delta_1^{(2,1)} + C_0^{(2,1)} e_1 + C_1^{(2,1)} e_2 \quad (31)$$

明らかに

$$\sum \delta_1^{(2,1)} = 0, C_0^{(2,1)} = 0, C_1^{(2,1)} = 1 \quad (32)$$

である。

ついで

一般に、

$$\left. \begin{aligned} C_0^{(i,i)} &= 1, & C_1^{(i,i)} &= 0 \\ C_0^{(i+1,i)} &= 0, & C_1^{(i+1,i)} &= 1 \end{aligned} \right\} (33)$$

である。

 $k=0$ のとき、

$$\underbrace{C_k^{(i,i)}}_{\rightarrow 1} D_i^{(0)} + \underbrace{C_k^{(i+1,i)}}_{\rightarrow 0} D_i^{(1)} \quad (34)$$

$$= C_k^{(i,i)} D_i^{(0)} \quad (35)$$

 $k=1$ のとき、

$$\underbrace{C_k^{(i,i)}}_{\rightarrow 0} D_i^{(0)} + \underbrace{C_k^{(i+1,i)}}_{\rightarrow 1} D_i^{(1)} \quad (36)$$

$$= C_k^{(i+1,i)} D_i^{(1)} \quad (37)$$

したがって、 $k=0, j=i$ のとき、

$$\begin{aligned} -i\pi\lambda_0 K D_i^{(k)} &= -i\pi K \lambda_0 \exp\{0\} \\ &\times \left\{ \underbrace{C_k^{(i,i)}}_{\rightarrow 1} D_i^{(0)} + \underbrace{C_k^{(i+1,i)}}_{\rightarrow 0} D_i^{(1)} \right\} \quad (38) \end{aligned}$$

□

#8/8
同様にして.

$k=1, i=j$ のときも同様.

$$-i\pi\chi_0 K D_i^{(k)} = -i\pi K \chi_0 \exp\{0\} \times \left\{ \underbrace{C_k^{(i,i)} D_i^{(i)}}_{\rightarrow 0} + \underbrace{C_k^{(i+1,i)} D_i^{(i)}}_{\rightarrow 1} \right\} \quad (39)$$

したがって $-i\pi\chi_0 K D_i^{(k)}$ の項は、サマ \rightarrow \sum の中に
繰り入れたことができて、式(22)は、次のように書ける。

$$\frac{\partial}{\partial S_i} D_i^{(k)} = -i\pi K \sum_{j=0}^{n-1} \chi_{h_i - h_j} \exp\{-2\pi i(h_j - h_i) \cdot u\} \times \left\{ C_k^{(j,i)} D_j^{(i)} + C_k^{(j+1,i)} D_j^{(i)} \right\}$$

$i, j \in \{0, 1, \dots, n-1\}, k \in \{0, 1\}, n \in \{3, 4, 6, 8, 12\}$

この式では D_i' を D_i と書き改めている。 (40)

更に一般化した、 n -波実空間量子力学理論

- 2~12波の n 波の適用範囲
- χ_0 を陽に含ませないで、
 - ランダム、グラウチン-ス、ランダムな対称性
 - 干渉性+対称性 (対称性の対称性) 対称性
- 乱雑性をいじり、任意の対称性
- 任意の完全偏光入射の対称性

2002/9/1

#1/1

前頁の式を更に $k=0$ と $k=1$ の項を求めて。

$$\frac{\partial}{\partial t} D_i^{(k)} = -i\pi K \sum_{j=0}^{n-1} \sum_{l=0}^j \chi_{(h_l, h_j)} \exp[-2\pi i (h_j - h_l) \cdot t] C_k^{(j+l, i)} D_j^{(l)}$$

$i, j \in \{0, 1, \dots, n-1\}, k, l \in \{0, 1\}, n \in \{3, 4, 6, 8, 12\}$

項を→は n -波動力学理論